

## Влияние ориентационного фазового превращения на низкотемпературную ползучесть $n\text{-H}_2$

Л. А. Алексеева, Ю. Е. Стеценко, Ю. В. Бутенко, А. А. Солодовник

Физико-технический институт низких температур им. Б. И. Веркина НАН Украины  
пр. Ленина, 47, г. Харьков, 61103, Украина  
E-mail: alekseeva@ilt.kharkov.ua

Статья поступила в редакцию 5 июня 2001 г., после переработки 20 июня 2001 г.

Исследована низкотемпературная стационарная ползучесть твердого нормального водорода, выращенного в поликристаллической форме. Интервал исследованных температур 1,4–4,2 К включал температуру  $T_c$  фазового превращения  $n\text{-H}_2$ . Обнаружено, что при понижении температуры  $n\text{-H}_2$  до значения  $T_c$  величина скорости стационарной ползучести образцов претерпевает скачкообразное уменьшение, которое может быть обусловлено ужесточением решетки  $n\text{-H}_2$  в результате ориентационного упорядочения ортомолекул.

Досліджено низькотемпературну стаціонарну повзучість твердого нормального водню, що був вирощений у полікристалічній формі. Інтервал досліджуваних температур 1,4–4,2 К включав температуру  $T_c$  фазового перетворення  $n\text{-H}_2$ . Виявлено, що при зниженні температури  $n\text{-H}_2$  до значення  $T_c$  величина швидкості стаціонарної повзучості зразків стрибком зменшується, що може бути обумовлено підвищенням жорсткості гратки  $n\text{-H}_2$  внаслідок орієнтаційного упорядкування ортомолекул.

PACS: 64.70.-p, 62.20.Hg, 67.80.-s

Молекула  $\text{H}_2$  представляет собой квантовомеханическую систему четырех фермионов (два протона, два электрона) с полуцелыми спинами. Требование антисимметрии полной волновой функции приводит к существованию двух спин-ядерных модификаций  $\text{H}_2$  – орто- и пара-, описываемых разными наборами вращательных состояний (квантовые числа  $J$  принимают значения 0, 2, 4, … для четного суммарного спина ядер  $I = 0$  и 1, 3, 5, … для нечетного суммарного спина  $I = 1$ ). При температурах ниже 85 К (тем более, в кристалле) заняты только нижние  $J = 0$  и  $J = 1$  состояния (см., например, [1]). Потеря ортовородом присущей сферическим молекулам  $p\text{-H}_2$  высокой симметрии приводит к тому, что молекулы  $o\text{-H}_2$  более жестко взаимодействуют в решетке (в основном посредством электростатических квадруполь-квадрупольных (ЭКК) сил). Водородные модификации ведут себя как два принципиально разных и взаимно растворимых вещества. Анизотропное ЭКК взаимодействие между ортомолекулами для концентраций  $x$ , превышающих 53%, инициирует ориентационное упорядочение, которое происходит при зависящей от концентрации температуре  $T_c$  и сопровождается кристалло-

графическим переходом от гексагональной плотноупакованной структуры решетки (стабильной при высоких температурах) к кубической. Для концентрации орто- $\text{H}_2$ , равной 75% ( $n\text{-H}_2$ ), ориентационное упорядочение с изменением структуры ГПУ–ГЦК происходит при понижении температуры до 1,58 К (см. [2] и ссылки в ней). При этом общая симметрия кристалла понижается от  $P6_3/mmc$  до  $Pa3$  [2,3].

Фазовые превращения в молекулярных кристаллах (например, в  $\text{CH}_4$  [3]) приводят [4] к резкому изменению ряда параметров пластичности, в том числе скорости стационарной ползучести  $\dot{\epsilon}$ , под действием постоянно приложенного напряжения. В водороде фазовое превращение сопровождается изменением позиционного порядка центров тяжести молекул, в этой связи характер поведения  $\dot{\epsilon}(T)$  представляет особый интерес.

До настоящего времени отсутствует информация о предполагаемом влиянии фазового перехода на значения  $\dot{\epsilon}$  для твердого нормального водорода. В представленной работе приведены результаты исследования температурной зависимости величины скорости стационарной (установившейся) ползучести  $\dot{\epsilon}$  твердого  $n\text{-H}_2$  для трех значений прило-

женного напряжения  $\sigma$  в интервале температур 1,4–4,2 К, включающем точку фазового превращения  $T_c$ . Обнаружена особенность поведения  $\dot{\epsilon}(T)$ , указывающая на влияние фазового перехода на скорость пластической деформации  $n\text{-H}_2$ .

Образцы длиной 50 мм и диаметром 10 мм выращивались из газообразного  $\text{H}_2$ , отбираемого над поверхностью жидкого  $n\text{-H}_2$  чистотой 99,999 мол. дол. %. Накопление газа происходило при небольшом избыточном давлении (с целью создания резерва  $\text{H}_2$  для выращивания образцов и исключения возможности попадания воздуха) при комнатной температуре в системе напуска, выполненной из стали 12Х18Н10Т. В результате чрезвычайно низкого парциального давления всех возможных неводородных примесей [5] при температуре кипения водорода газообразный  $\text{H}_2$  был максимально очищен и предельно обогащен его основными компонентами (орт- и пара- в их естественном соотношении 3:1). Кристаллизация  $n\text{-H}_2$  осуществлялась в охлажденной жидким гелием стеклянной ампуле [6]. В результате кратковременной откачки паров над образцами они оказывались освобожденными от стенок ампулы. Нагружение образцов, отожженных при 10–11 К, осуществлялось посредством подвижного штока, соединенного с сердечником электромагнита [6]. Выращенные образцы являлись поликристаллами с размером зерна 1,5–2 мм.

Температуру образцов регулировали откачкой паров над жидким  $^4\text{He}$ , измеряли по упругости его паров и контролировали угольными термометрами с точностью  $\pm 10^{-2}$  К. Погрешность в стабилизации температуры и неоднородность распределения ее вдоль образца не превышали  $10^{-1}$  К. Приращение длины образцов измеряли индуктивным датчиком перемещений с точностью  $\pm 10^{-5}$  см.

На рис. 1 приведены температурные зависимости величины скорости установившейся ползучести  $\dot{\epsilon}$  образцов  $n\text{-H}_2$ , полученные для трех значений приложенного к образцам постоянного напряжения  $\sigma$  (0,02, 0,06 и 0,1 МПа). Полученные экспериментально значения скорости  $\dot{\epsilon}$  усредняли по нескольким измерениям, отклонение от среднего не превышало 3–5 %. На рисунке видно, что в высокотемпературной фазе  $n\text{-H}_2$  для всех приведенных температурных зависимостей  $\dot{\epsilon}$  проявляется тенденция к насыщению при охлаждении, нарушающаяся при прохождении точки фазового превращения, в которой величины  $\dot{\epsilon}$  скачкообразно понижаются для всех трех указанных значений  $\sigma$ . Это свидетельствует о том, что скорость стационарного пластического течения  $n\text{-H}_2$

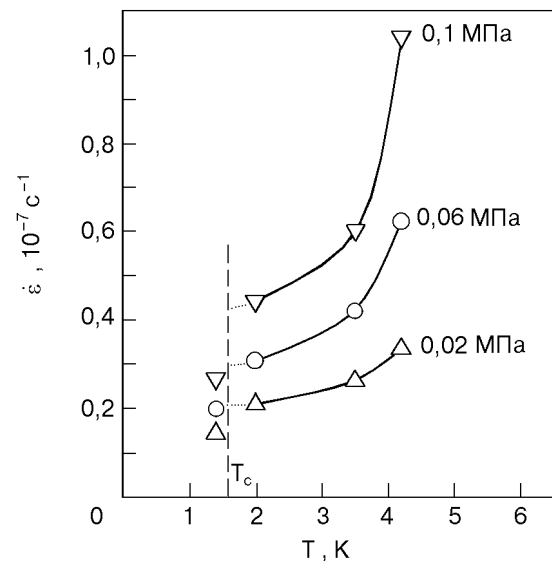


Рис. 1. Температурные зависимости величины скорости стационарной ползучести  $\dot{\epsilon}$  поликристаллов  $n\text{-H}_2$  для различных значений приложенного напряжения  $\sigma$ .

является величиной, чувствительной к структурному фазовому превращению.

Из измерений скорости установившейся ползучести  $n\text{-H}_2$ , проведенных в широком интервале температур 2–13 К (см. [2] и ссылки в ней), следует, что величина энергии активации установившейся ползучести для температур  $2 \text{ K} < T < 4,2 \text{ K}$  близка к характерной энергии нецентрального ЭКК взаимодействия двух соседних молекул  $o\text{-H}_2$  в решете (3,2–3,3 К, см. [2]). Это указывает на определяющую роль в кинетике низкотемпературной ползучести  $n\text{-H}_2$  эффектов, связанных с квадруполь-квадрупольным взаимодействием между ортоводородными молекулами.

Обнаруженная особенность в поведении  $\dot{\epsilon}$  вблизи точки фазового превращения  $n\text{-H}_2$  обусловлена различием фундаментальных физических свойств орто- и парамодификаций твердого  $\text{H}_2$  — наличием ориентационного упорядочения молекул  $o\text{-H}_2$  и отличием структурного состояния кристаллического  $n\text{-H}_2$  в областях температур ниже и выше  $T_c$ . Полученные результаты явно указывают на то, что на закономерности деформации  $n\text{-H}_2$ , определяющие кинетику его стационарной ползучести вблизи фазового перехода ( $1,4 < T_c < 2 \text{ K}$ ), оказывают влияние как инициируемое электростатическим квадруполь-квадрупольным взаимодействием ориентационное упорядочение ортомолекул (сопровождающееся с понижением температуры до  $T_c = 1,58 \text{ K}$  появлением в кристалле  $n\text{-H}_2$  дальнего порядка в их взаимных ориентациях), так и структурный фазовый переход.

Следует заметить, что, по-видимому, кристаллографический фазовый переход ГЦК-ГПУ структур не играет основной роли в изменении параметров пластичности  $n\text{-H}_2$ . Этот вывод основывается на том, что при температурах ниже  $T_c$ , при которых распределение центров масс водородных молекул в поликристалле  $n\text{-H}_2$  оказывается характерным для ГЦК структуры, величина скорости стационарного течения образцов оказывается не выше, а заметно ниже, чем для его анизотропной ГПУ структуры. При интерпретации этого наблюдения следует учитывать поликристалличность исследованных образцов  $n\text{-H}_2$  и общую специфику ГПУ кристаллов: сравнительно быстрое блокирование деформации отдельных зерен соседними из-за отсутствия возможности реализации в них одновременно пяти систем скольжения, что необходимо для сохранения их сплошности. Это дает основания ожидать более высокой пластичности  $n\text{-H}_2$  при температурах ниже точки кристаллографического преобразования его структуры.

Обнаруженная особенность температурной зависимости  $\dot{\epsilon}$  для  $n\text{-H}_2$  качественно согласуется с результатами исследования (см., например, [4]) влияния фазового перехода на скорость стационарной ползучести кристаллического метана, в котором низкотемпературный фазовый переход (см. [3] и ссылки в ней) приводит в точке перехода к скачкообразному изменению величины  $\dot{\epsilon}$  почти на два порядка. Таким образом, более низкие величины скорости крипа  $\dot{\epsilon}$ , более высокое упрочнение и более низкая пластичность  $n\text{-H}_2$  в ГЦК фазе при температурах  $T < T_c$  обусловлены в основном различиями в характере вращательного движения молекул  $o\text{-H}_2$  в окрестности температуры фазового превращения и наличием дальнего порядка в их взаимных ориентациях в кристалле.

Молекула  $o\text{-H}_2$  при температурах ниже  $T_c$  совершает либрационные колебания, сохраняя расположение своих центров тяжести в узлах типа *Ра3* плотноупакованной решетки [2]. При этом равновесные положения осей ортоводородных молекул оказываются направленными вдоль четырех пространственных диагоналей куба. Возникающее при движении дислокаций при  $T < T_c$  нарушение не только позиционного, но и ориентационного порядка в кристалле  $n\text{-H}_2$  приводит к отклонению ориентации осей симметрии кристалла от равновесных. Переход через точку фазового ориентационного превращения с ростом температуры обычно сопровождается появлением спонтанной деформации (см. [6]). Из эксперимента следует, что дальний порядок во взаимных ориен-

тациях ортомолекул ниже температуры  $T_c$  обеспечивает более высокое трение решетки для дислокаций в  $n\text{-H}_2$ . При этом следует учесть, что с изменением симметрии кристалла в результате фазового перехода ГПУ-ГЦК в  $n\text{-H}_2$  и с появлением четырех подрешеток с различиями в ориентациях осей симметрии молекул  $o\text{-H}_2$  изменяется структура ядер дислокаций. Вместо единичных дислокаций, существующих при  $T > T_c$ , в образцах  $n\text{-H}_2$  при  $T < T_c$  возникают сверхдислокации [7,8] с антифазным вектором смещения  $a/2$  [110] ( $a$  – расстояние между ближайшими соседями) и антифазные границы. В случае  $n\text{-H}_2$  они разделяют специфические домены поворотного типа [9], характеризующиеся различной ориентацией в них молекулярных осей  $o\text{-H}_2$ . Такие домены возникают в молекулярных криокристаллах с преобладающим анизотропным ЭКК взаимодействием между молекулами. Это, по-видимому, и приводит к появлению скачка скорости ползучести водорода при переходе через точку фазового перехода  $T_c$ . Следует заметить, что в большой степени наблюдаемое поведение величины  $\dot{\epsilon}$  аналогично обнаруженным изменениям механических свойств (например, микротвердости) тяжелых молекулярных кристаллов типа  $C_{60}$  в их точке фазового превращения [6,10].

Авторы глубоко признательны В. Г. Манжелию, М. А. Стржемечному, М. И. Багацкому, В. Д. Нацку и А. И. Прохватилову за полезные замечания, а также И. В. Легченковой за помощь в оформлении результатов работы.

1. А. Бейзер, *Основные представления современной физики*, Атомиздат, Москва (1973).
2. *Криокристаллы*, Б. И. Веркин, А. Ф. Прихолько (ред.), Наукова Думка, Киев (1983); *Physics of Cryocrystals*, V. G. Manzhelii and Yu. A. Freiman (eds.), AIP PRESS, Woodbury, New York (1996).
3. V. G. Manzhelii, A. I. Prokhlavtilov, I. Ya. Minchina, and L. D. Yantsevich, *Handbook of Binary Solutions of Cryocrystals*, Begell House Inc, New York (1996).
4. В. А. Романуша, А. В. Леонтьева, А. Ю. Прохоров, *ФНТ* **12**, 545 (1986); А. В. Леонтьева, А. Д. Алексеев, В. А. Романуша, В. А. Стрельцов, А. Ю. Прохоров, Л. В. Степанчук, Л. А. Ващенко, *ФНТ* **15**, 46 (1989).
5. В. I. Verkin, V. G. Manzhelii, V. N. Grigoriev, V. A. Koval', V. V. Pashkov, V. G. Ivantsov, O. A. Tolkacheva, N. M. Zvyagina, and L. I. Pastur, *Handbook of Properties of Condensed Phases of Hydrogen and Oxygen*, Hemisphere Publishing Corporation, New York, Washington, Philadelphia, London (1990).
6. В. Д. Нацк, С. В. Лубенец, Л. С. Фоменко, *ФНТ* **22**, 337 (1996).
7. Д. Н. Большуткин, Ю. Е. Стеценко, Л. А. Индан, А. А. Худотепляя, *Исследование ползучести твердых водорода идейтерия*, в кн.: *Физические процессы пластической деформации при низких температурах*, Наукова Думка, Киев (1974), с. 345.

8. Ю. Е. Стетценко, Д. Н. Большуткин, Л. А. Индан, *ФТТ* **12**, 3636 (1970).
9. В. В. Белоцерковский, М. А. Стржемечный, *ФНТ* **15**, 520 (1989).
10. Л. С. Фоменко, В. Д. Нацик, С. В. Лубенец, В. Г. Лириман, Н. А. Аксенова, А. П. Исакина, А. И. Прохватилов, М. А. Стржемечный, Р. С. Руоф, *ФНТ* **21**, 465 (1995).

The influence of orientational phase transformation on low-temperature creep of  $n\text{-H}_2$

**L. A. Alekseeva, Yu. E. Stetsenko,  
Yu. V. Butenko, and A. A. Solodovnik**

The low-temperature stationary creep of solid natural hydrogen which has been growed in polycrystalline shape was researched. The phase transition point  $T_c$  has been included to the treating temperature range 1.4–4.2 K. The jump-like discontinuous change of stationary creep rate value at temperature  $T_c$  was revealed, that can be attributed to  $n\text{-H}_2$  lattice rigidity increasing in result of orthomolecules orientational ordering.